

Soluções perturbadas para o problema de deposição em múltiplas geometrias

J. M. Silva, D. Marchesin

Resumo

Propomos uma solução aproximada para o problemas de filtração em múltiplas geometrias, construída através de perturbações das equações que regem o modelo. Mostramos que ela aproxima a solução exata de que dispomos para o problema no caso da produção feita em laboratório, em situações onde a função de filtração varia pouco.

1 Introdução.

A presença de impurezas na água injetada no meio poroso é a grande responsável pela obstrução dos poros e conseqüente perda de produtividade dos poços produtores de água potável. Os modelos para o transporte e deposição destas partículas no meio poroso dependem intrinsecamente de uma função, a *função de filtração*, que não pode ser deduzida a partir de princípios físicos mas sim obtida experimentalmente. Sua escolha impõe, portanto, a necessidade da conformidade experimental se a candidata é para ser tomada com uma aproximação razoável do fenômeno físico.

A escolha tomada neste corrobora e estende os resultados obtidos para o problema de recuperação em múltiplas geometrias de de Zwart em [4], observando que a deposição está intimamente ligada ao fluxo no meio poroso:

$$\frac{\partial \sigma}{\partial t} = \lambda |\mathbf{u}|^\delta c,$$

onde σ é a concentração de partículas depositadas, c é a concentração de partículas suspensas, λ é a função de filtração, \mathbf{u} é o fluxo no meio poroso e por fim δ é um parâmetro a ser ajustado, dependente inclusive da geometria do fluxo.

Acrescentamos a este modelo uma dependência explícita de λ em termos de uma pequena dependência linear em σ , a saber:

$$\lambda(\sigma) = \lambda_0(1 + \varepsilon\sigma),$$

onde λ_0 é uma constante, tornando o sistema de EDPs não linear, porém apto a registrar as modificações na deposição conforme os poros se preenchem. Embora este novo sistema não linear não possua solução explícita conhecida para $\delta \neq 1$, sua generalidade motiva a busca por soluções aproximadas. Para isto consideramos que a solução pode ser dada em termos de uma série assintótica em ε , centrada na solução do problema não perturbado. Aplicamos o método das perturbações para encontrar uma solução aproximada de ordem um.

Comparamos esta solução aproximada com a solução no caso particular de geometria linear, onde a solução exata é conhecida. Mostramos que de fato a aproximação é boa para tempos pequenos, comparando o comportamento das duas soluções.

Prosseguimos comparando a formulação apresentada com outra que despreza o termo de acumulação das partículas suspensas na equação de conservação de massa, ambas devidas a Herzig *et al* [2]. Esta última tem se mostrado mais adequada para simulações numéricas [3]

A posse do solução aproximada por si lança alguma luz na compreensão do problema de deposição. Também é útil para a validação de métodos numéricos para este problema, estes sim o instrumento de maior peso na aproximação de soluções.

2 Desenvolvimento da solução perturbada.

Nosso problema é encontrar uma solução aproximada para o sistema:

$$\begin{cases} \frac{\partial}{\partial x} c - \frac{\partial}{\partial t} c = + \frac{\partial}{\partial t} \sigma, & \text{(a)} \\ \frac{\partial}{\partial t} \sigma = \lambda_0 x^{-\beta} (1 + \varepsilon \sigma) c, & \text{(b)} \end{cases} \quad (1)$$

onde ε é negativo e pequeno, no sentido que $\|\varepsilon\sigma\|_{L^\infty} \ll 1$. As funções c e σ estão definidas para $x \in [x_0, 1]$, $0 < x_0 < 1$ e $t \geq 0$. Supomos c e σ tão suaves quanto o necessário para os cálculos que seguem.

2.1 Condições iniciais e de contorno.

Supomos que para $t = 0$ a rocha esteja livre de partículas depositadas e não haja partículas suspensas:

$$\sigma(x, 0) \equiv 0 \quad \text{e} \quad c(x, 0) \equiv 0. \quad (2)$$

Para $t > 0$ existe uma injeção de fluido pela parede $x = 1$, o que representamos como a condição de contorno:

$$c(1, t) = 1. \quad (3)$$

2.2 Método de perturbação.

Trataremos o problema (1) como uma perturbação do problema no qual $\varepsilon = 0$, caso onde dispomos das soluções exatas [4]:

$$c(x, t)_{\varepsilon=0} = \begin{cases} x^{\lambda_0}, & \beta = 1; & \text{(a)} \\ \exp\left\{\frac{\lambda_0}{(1-\beta)} [x^{1-\beta} - 1]\right\}, & \beta \neq 1. & \text{(b)} \end{cases} \quad (4)$$

$$\sigma(x, t)_{\varepsilon=0} = \begin{cases} \lambda_0 x^{\lambda_0-1} (t + x - 1), & \beta = 1; & \text{(a)} \\ \lambda_0 x^{-\beta} \exp\left\{\frac{\lambda_0}{(1-\beta)} [x^{1-\beta} - 1]\right\} (t + x - 1), & \beta \neq 1, & \text{(b)} \end{cases} \quad (5)$$

onde (4) e (5) valem no trapézio:

$$D = \{x \in [x_0, 1], t > 1 - x\}; \quad (6)$$

Para $\{x \in [x_0, 1], 0 < t < 1 - x\}$, o efeito da injeção (3) ainda não foi sentido, de forma que as condições iniciais (2) fazem $\sigma \equiv c \equiv 0$. Para o problema perturbado concentraremos nossa atenção no trapézio (6).

Sejam agora c e σ soluções do sistema (1), no trapézio (6). Supomos que c e σ admitam representação na forma de série assintótica em ε . Assim, esperamos que a solução de (1) esteja muito próxima da solução do sistema onde $\varepsilon = 0$. Escrevemos:

$$\begin{cases} c(x, t) = c_0(x, t) + \varepsilon c_1(x, t) + \mathcal{O}(\varepsilon^2), & \text{(a)} \\ \sigma(x, t) = \sigma_0(x, t) + \varepsilon \sigma_1(x, t) + \mathcal{O}(\varepsilon^2), & \text{(b)} \end{cases} \quad (7)$$

onde εc_1 e $\varepsilon \sigma_1$ são as correções de primeira ordem e c_0 e σ_0 são as soluções de (1) quando $\varepsilon = 0$.

Substituindo (7) em (1a) obtemos:

$$\begin{aligned} \partial_x(c_0 + \varepsilon c_1) - \partial_t(c_0 + \varepsilon c_1) + \mathcal{O}(\varepsilon^2) &= \\ &= (\partial_x c_0 - \partial_t c_0) + \varepsilon(\partial_x c_1 - \partial_t c_1) + \mathcal{O}(\varepsilon^2), \end{aligned} \quad (8)$$

para o lado esquerdo e:

$$\begin{aligned} \lambda_0 x^{-\beta} [1 + \varepsilon(\sigma_0 + \varepsilon \sigma_1 + \mathcal{O}(\varepsilon^2))] [c_0 + \varepsilon c_1 + \mathcal{O}(\varepsilon^2)] &= \\ &= \lambda_0 x^{-\beta} [(c_0 + \varepsilon c_1) + \varepsilon c_0 \sigma_0] + \mathcal{O}(\varepsilon^2), \end{aligned} \quad (9)$$

para o lado direito.

Igualando (8) e (9) obtemos:

$$\begin{aligned} (\partial_x c_0 - \partial_t c_0 - \lambda_0 x^{-\beta} c_0) + \varepsilon(\partial_x c_1 - \partial_t c_1) &= \\ &= \varepsilon \lambda_0 x^{-\beta} (c_0 \sigma_0 + c_1) + \mathcal{O}(\varepsilon^2). \end{aligned} \quad (10)$$

Como c_0 é solução de (1) para $\varepsilon = 0$, a soma no primeiro par de parênteses é zero. Dividindo (10) por ε obtemos:

$$\partial_x c_1 - \partial_t c_1 = \lambda_0 x^{-\beta} (c_0 \sigma_0 + c_1), \quad (11)$$

onde c_0, σ_0 são conhecidos e foram desprezados os termos de ordem mais alta.

Fazendo a substituição de (7) em (1b) obtemos:

$$\begin{aligned} \partial_t(\sigma_0 + \varepsilon \sigma_1 + \mathcal{O}(\varepsilon^2)) &= \\ &= \lambda_0 x^{-\beta} [1 + \varepsilon(\sigma_0 + \varepsilon \sigma_1 + \mathcal{O}(\varepsilon^2))] [c_0 + \varepsilon c_1 + \mathcal{O}(\varepsilon^2)] \\ &= \lambda_0 x^{-\beta} [c_0 + \varepsilon c_1 + \varepsilon \sigma_0 c_0] + \mathcal{O}(\varepsilon^2). \end{aligned} \tag{12}$$

Analogamente ao caso anterior, temos que $\partial_t \sigma_0 - \lambda_0 x^{-\beta} c_0 = 0$. Dividindo (12) por ε e desprezando os termos de ordem mais alta obtemos:

$$\partial_t \sigma_1 = \lambda_0 x^{-\beta} (\sigma_0 c_0 + c_1). \tag{13}$$

Novamente, lembramos que σ_0 e c_0 são conhecidos. Unimos (11) e (13) no sistema:

$$\begin{cases} \partial_x c_1 - \partial_t c_1 = \lambda_0 x^{-\beta} [c_0 \sigma_0 + c_1]; & \text{(a)} \\ \partial_t \sigma_1 = \lambda_0 x^{-\beta} [c_0 \sigma_0 + c_1]; & \text{(b)} \end{cases} \tag{14}$$

que é o sistema para as perturbações de primeira ordem (c_1, σ_1) . A grande vantagem desta abordagem é que c_1 pode ser obtido de modo independente de σ_1 , como pode ser visto em (14a).

2.3 Condições Iniciais e de contorno para o problema perturbado.

Da expansão (7a) temos:

$$c(1, \xi - 1) = c_0(1, \xi - 1) + \varepsilon c_1(1, \xi - 1) + \mathcal{O}(\varepsilon^2), \tag{15}$$

vale $c(1, \xi - 1) \equiv 1$, por (3), e também $c_0(1, \xi - 1) \equiv 1$ porque c_0 é solução do problema (1) com $\varepsilon = 0$. Desprezando os termos de ordem mais alta temos que $c_1(1, \xi - 1) \equiv 0, \forall \varepsilon > 0$.

Um argumento de continuidade em adição a um comentário análogo ao anterior nos fornece $\sigma_1(x, 1 - x) = 0$.

2.4 Solução do problema perturbado.

Para resolver (14) propomos a mudança de variáveis:

$$\begin{cases} \xi = x + t; \\ X = x, \end{cases} \quad \begin{cases} x = X; \\ t = \xi - X, \end{cases}$$

donde usando a regra da cadeia obtemos:

$$\frac{d}{dX} = \frac{\partial}{\partial x} \frac{\partial x}{\partial X} + \frac{\partial}{\partial t} \frac{\partial t}{\partial X} = \frac{\partial}{\partial x} - \frac{\partial}{\partial t}. \quad (16)$$

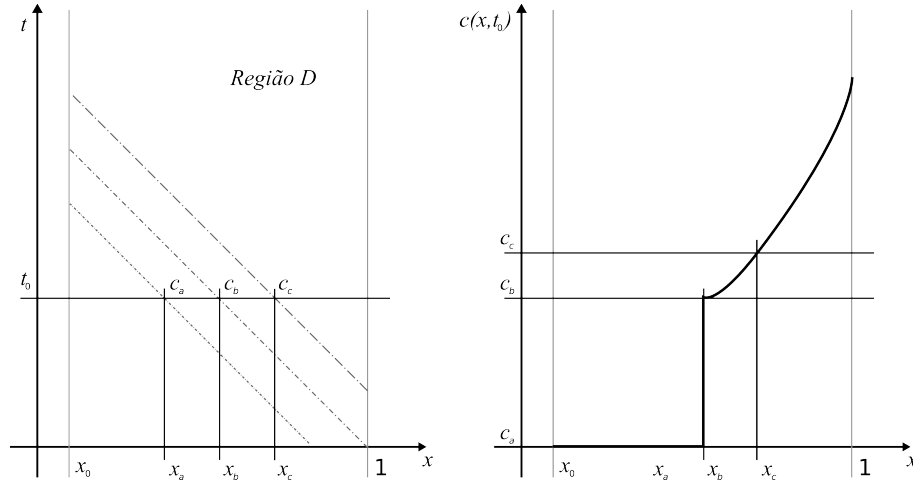


Figura 1: Ilustração do método de solução por características.

Na Figura 1 fornecemos uma ilustração do método. À esquerda temos três características, a primeira c_a fora do trapézio (6), a segunda na região de transição e a terceira transportando informação do dado de contorno. Na figura à direita exibimos o perfil da solução para partículas suspensas como função da posição no instante t_0 pré-fixado. Para a região de interesse (6), temos $\xi \geq 1$. Fixando um tal ξ , a equação (14a) reduz-se à EDO:

$$\frac{d}{dX} c_1(X, \xi - X) = \lambda_0 X^{-\beta} [c_0(x, \xi - X) \sigma_0(X, \xi - X) + c_1(X, \xi - X)]. \quad (17)$$

para simplificar a notação

$$\begin{cases} c_i(X) := c_i(X, \xi - X); \\ \sigma_i(X) := \sigma_i(X, \xi - X), \quad i \in \{0, 1\}. \end{cases} \quad (18)$$

Resolvendo-a:

$$\begin{aligned}\frac{d}{dX} c_1(X) &= \lambda_0 X^{-\beta} [c_0(X)\sigma_0(X) + c_1(X)] \\ \frac{d}{dX} c_1(X) - \lambda_0 X^{-\beta} c_1(X) &= \lambda_0 X^{-\beta} c_0(X)\sigma_0(X)\end{aligned}$$

$$\frac{d}{dX} \left[\exp \left\{ - \int_1^X \lambda_0 s^{-\beta} ds \right\} c_1(X) \right] = \exp \left\{ - \int_1^X \lambda_0 s^{-\beta} ds \right\} \lambda_0 X^{-\beta} c_0(X)\sigma_0(X). \quad (19)$$

A solução de (19) é feita em casos.

i) $\beta = 1$. Neste, temos que:

$$\int_1^X \lambda_0 s^{-\beta} ds = \ln |X|^{\lambda_0} - \ln |1|^{\lambda_0} = \ln X^{\lambda_0}, \quad X \geq x_0 > 0. \quad (20)$$

Aplicando (20) em (19) temos:

$$\frac{d}{dX} \left[\exp \left\{ - \ln(X)^{\lambda_0} \right\} c_1(X) \right] = \exp \left\{ - \ln(X)^{\lambda_0} \right\} \lambda_0 X^{-1} c_0(X)\sigma_0(X). \quad (21)$$

$$X^{-\lambda_0} c_1(X) = c_1(1) + \int_1^X s^{-\lambda_0} \lambda_0 s^{-1} c_0(s)\sigma(s) ds. \quad (22)$$

Note que $c_1(1) = c_1(1, \xi - 1)$ é o valor no “pé” da característica. Isto fornece:

$$c_1(X) = X^{\lambda_0} \int_1^X \lambda_0 s^{-(\lambda_0+1)} c_0(s)\sigma_0(s) ds. \quad (23)$$

Substituindo (4a) e (5a) em (23) e na notação (17); $\sigma(s) = \sigma(s, \xi - s)$, $c(s) = c(s, \xi - s)$:

$$\begin{aligned}c_1(X) &= X^{\lambda_0} \int_1^X \lambda_0 s^{-(\lambda_0+1)} (s^{\lambda_0}) [\lambda_0 s^{\lambda_0-1} (\xi - s + s - 1)] ds \\ &= \lambda_0^2 X^{\lambda_0} (\xi - 1) \int_1^X s^{\lambda_0-2} ds.\end{aligned} \quad (24)$$

Voltando às variáveis (x, t) temos:

$$c_1(x, t) = \lambda_0^2 x^{\lambda_0} (t + x - 1) \int_1^x s^{\lambda_0-2} ds. \quad (25)$$

Escrevendo:

$$f(x) = \int_1^x s^{\lambda_0-2} ds. \quad (26)$$

temos que:

$$f(x) = \begin{cases} \frac{1}{\lambda_0 - 1} [x^{\lambda_0-1} - 1], & \text{se } \lambda_0 \neq 1; \\ \ln x, & \text{se } \lambda_0 = 1. \end{cases} \quad (27)$$

De posse de (25) o cálculo de σ_1 reduz-se a uma integração. Usando (14b) escrevemos:

$$\sigma_1(x, t) = \sigma_1(x, 1-x) + \lambda_0 x^{-1} \int_{1-x}^t [c_0(x, s)\sigma_0(x, s) + c_1(x, s)] ds, \quad (28)$$

onde o intervalo de integração justifica-se observando que a solução é não nula apenas acima da reta $t = 1 - x$. Lembre que $\sigma_1(1) \equiv 0$, para o problema perturbado.

Substituindo (4a), (5a), (25) e (26) em (28) obtemos:

$$\begin{aligned} \sigma_1(x, t) &= \lambda_0 x^{-1} \int_{1-x}^t [x^{\lambda_0} \lambda_0 x^{\lambda_0-1} (r+x-1) + \lambda_0^2 x^{\lambda_0} f(x) (r+x-1)] dr \\ &= \lambda_0 x^{-1} [\lambda_0 x^{2\lambda_0-1} + \lambda_0^2 x^{\lambda_0} f(x)] \int_{1-x}^t (r+x-1) dr \\ &= \lambda_0^2 x^{\lambda_0-1} [x^{\lambda_0-1} + \lambda_0 f(x)] \left\{ \frac{t^2}{2} + tx - t - \frac{(1-x)^2}{2} - (1-x)x + (1-x) \right\}. \end{aligned} \quad (29)$$

Por fim (25), (29) é a solução procurada para $\beta = 1$.

ii) Caso $\beta \neq 1$: Temos que:

$$\int_1^X \lambda_0 s^{-\beta} ds = \frac{1}{1-\beta} [X^{1-\beta} - 1]. \quad (30)$$

Substituindo (30) em (19) obtemos:

$$\begin{aligned} e^{-\frac{\lambda_0}{1-\beta}[X^{1-\beta}-1]} c_1(X) &= c_1(1) + \\ + \int_1^X \left(e^{-\frac{\lambda_0}{1-\beta}[s^{1-\beta}-1]} \right) &\lambda_0 s^{-\beta} c_0(s) \sigma_0(s) ds. \end{aligned} \quad (31)$$

Lembramos que $c_1(1) \equiv 0$. Substituindo (4b) e (5b) em (31):

$$\begin{aligned}
c_1(X) &= \tag{32} \\
&= e^{\frac{\lambda_0}{1-\beta}[X^{1-\beta}-1]} \int_1^X e^{-\frac{\lambda_0}{1-\beta}[s^{1-\beta}-1]} \lambda_0 s^{-\beta} \left(e^{\frac{\lambda_0}{1-\beta}[s^{1-\beta}-1]} \right) \left[\lambda_0 s^{-\beta} e^{\frac{\lambda_0}{1-\beta}[s^{1-\beta}-1]} (\xi - 1) \right] ds \\
&= e^{\frac{\lambda_0}{1-\beta}[X^{1-\beta}-1]} \lambda_0^2 (\xi - 1) \int_1^X s^{-2\beta} e^{\frac{\lambda_0}{1-\beta}[s^{1-\beta}-1]} ds.
\end{aligned}$$

Retornando às variáveis (x, t) a equação (32) se escreve:

$$c_1(x, t) = \lambda_0^2 \left[e^{\frac{\lambda_0}{1-\beta}[x^{1-\beta}-1]} \int_1^x s^{-2\beta} e^{\frac{\lambda_0}{1-\beta}[s^{1-\beta}-1]} ds \right] (t + x - 1). \tag{33}$$

Como $0 < x_0 \leq x < 1$, o integrando no termo entre colchetes está bem definido e é contínuo. A integral pode ser calculada, ao menos numericamente, e daqui em diante escreveremos:

$$g(x) = \lambda_0^2 e^{\frac{\lambda_0}{1-\beta}[x^{1-\beta}-1]} \int_1^x s^{-2\beta} e^{\frac{\lambda_0}{1-\beta}[s^{1-\beta}-1]} ds. \tag{34}$$

Para o cálculo de σ_1 , substituímos (4b), (5b), (33) e (34) em (28), integramos em relação a t e pelas mesmas considerações do caso $\beta = 1$ obtemos (lembre que c_0 não depende explicitamente de t):

$$\begin{aligned}
\sigma_1(x, t) &= \lambda_0 x^{-\beta} \int_{1-x}^t [\lambda_0 c_0^2(x, t)(r + x - 1) + g(x)(r + x - 1)] dr \\
&= \lambda_0 x^{-\beta} [\lambda_0 c_0^2(x, t) + g(x)] (t + x - 1)^2 / 2 \tag{35}
\end{aligned}$$

3 Solução explícita para o caso linear.

Para validar a solução perturbada calculada em 2.4 desenvolveremos uma solução exata do caso onde a geometria é linear ($\beta = 0$). Para isto, usando o Teorema 2.2 de [1] e a mudança de variáveis (16) podemos reescrever o sistema (1) como:

$$\begin{cases} \frac{d}{dX} c(X, \xi - X) = \lambda_0 (1 + \varepsilon \sigma(X, \xi - X)) c(X, \xi - X); & \text{(a)} \\ \frac{d}{dX} \sigma(X, \xi - X) = \lambda_0 (1 + \varepsilon \sigma(X, \xi - X)) \sigma(X, \xi - X), & \text{(b)} \end{cases} \tag{36}$$

3.1 Condição de contorno para σ .

O sistema (36) claramente dependerá de uma condição de contorno para σ em $x = 1$, o que motiva o subsequente cálculo. Considere a (1b) em $x = 1$. Ela reduz-se à EDO:

$$\frac{d}{dt}\sigma(1, t) = \lambda_0(1 + \varepsilon\sigma(1, t))c(1, t), \quad (37)$$

e usando a condição de contorno (3), $c(1, t) \equiv 1$, obtemos a solução:

$$\sigma(1, t) = \begin{cases} \frac{1}{\varepsilon} [e^{\varepsilon\lambda_0 t} - 1], & \text{para } \varepsilon > 0; \\ \lambda_0 t, & \text{para } \varepsilon = 0. \end{cases} \quad (38)$$

3.2 Cálculo para $\varepsilon = 0$ da solução exata.

Partindo da (36b) que depende apenas de σ e usando a notação $\sigma(X, \xi - X) = \sigma(X)$ temos:

$$\begin{aligned} \frac{d}{dX}\sigma(X) - \lambda_0\sigma(X) &= \varepsilon\lambda_0\sigma(X)^2 \\ \frac{d}{dX}\left(e^{-\lambda_0 X}\sigma(X)\right) &= \varepsilon\lambda_0 e^{-\lambda_0 X}\sigma(X)^2. \end{aligned} \quad (39)$$

Escrevendo $p(X) = e^{-\lambda_0 X}\sigma(X)$, obtemos por separação de variáveis:

$$\frac{dp(X)}{p^2(X)} = \varepsilon\lambda_0 e^{\lambda_0 X} dX. \quad (40)$$

Integrando (40) de 1 até x e retornando para $\sigma(X, \xi - X)$ chegamos a:

$$\sigma(X, \xi - X) = \frac{e^{\lambda_0(X-1)}\sigma(1, \xi - 1)}{1 + \varepsilon\sigma(1, \xi - 1) [e^{\lambda_0(X-1)} - 1]}. \quad (41)$$

Substituindo (41) em (36a) obtemos diretamente a fórmula para $c(X, \xi - X)$:

$$c(X, \xi - X) = e^{\lambda_0(X-1)} \exp \int_1^X \varepsilon\lambda_0\sigma(s, \xi - s) ds. \quad (42)$$

Usando (38) retornamos para as variáveis (x, t) , lembrando que $\xi = t + x$:

$$\begin{cases} \sigma(x, t) = \frac{e^{\lambda_0(x-1)}\sigma(1, t+x-1)}{1 + \varepsilon\sigma(1, t+x-1)[e^{\lambda_0(x-1)} - 1]} & \text{(a);} \\ c(x, t) = e^{\lambda_0(x-1)} \exp \int_1^x \varepsilon\lambda_0\sigma(s, t+x-s)ds & \text{(b).} \end{cases} \quad (43)$$

4 Comparação das soluções.

Comparamos nesta seção a solução obtida para o modelo perturbado no caso de geometria linear com a exata, calculada na seção anterior, obtendo uma expressão para o erro da solução perturbada no caso $\varepsilon = 0$. Para tanto, a expressão da solução perturbada escreve-se:

$$\begin{cases} c(x, t)_p = e^{\lambda_0(x-1)} + \varepsilon e^{\lambda_0(x-1)}[e^{\lambda_0(x-1)} - 1]\lambda_0(t+x-1); & \text{(a)} \\ \sigma(x, t)_p = \lambda_0 e^{\lambda_0(x-1)}(t+x-1) + \varepsilon[e^{2\lambda_0(x-1)} - e^{\lambda_0(x-1)}]/2 \lambda_0^2(t+x-1)^2 & \text{(b)} \end{cases} \quad (44)$$

Consideramos inicialmente que $\|\varepsilon\sigma(1, t+x-1)\|_{L^\infty} < 1$, onde podemos expandir (43a) em série de potências:

$$\begin{aligned} \sigma(x, t)_e &= e^{\lambda_0(x-1)} [\lambda_0(t+x-1) + \varepsilon (\lambda_0^2(t+x-1)^2/2 - e^{\lambda_0(x-1)}\lambda_0^2(t+x-1)^2)] \\ &\quad + \varepsilon^2 e^{\lambda_0(x-1)}\lambda_0^3(t+x-1)^3 [1/6 - (e^{\lambda_0(x-1)} - 1) - (e^{\lambda_0(x-1)} - 1)^2] + \mathcal{O}(\varepsilon^3). \end{aligned} \quad (45)$$

Temos que

$$\sigma(x, t)_e - \sigma(x, t)_p = \varepsilon^2 e^{\lambda_0(x-1)}\lambda_0^3(t+x-1)^3 [1/6 - (e^{\lambda_0(x-1)} - 1) - (e^{\lambda_0(x-1)} - 1)^2] + \mathcal{O}(\varepsilon^3), \quad (46)$$

o melhor resultado possível na vizinhança da aproximação.

Usamos (45) em (43b) para calcular:

$$\begin{aligned} c(x, t)_e &= e^{\lambda_0(x-1)} + \varepsilon\lambda_0 e^{\lambda_0(x-1)} [e^{\lambda_0(x-1)} - 1] (t+x-1) \\ &\quad + \varepsilon^2\lambda_0^2 e^{2\lambda_0(x-1)} [e^{\lambda_0(x-1)} - 1] (t+x-1)^2 + \mathcal{O}(\varepsilon^3), \end{aligned} \quad (47)$$

e da mesma forma:

$$c(x, t)_e - c(x, t)_p = \varepsilon^2 \lambda_0^2 e^{2\lambda_0(x-1)} [e^{\lambda_0(x-1)} - 1] (t + x - 1)^2 + \mathcal{O}(\varepsilon^3). \quad (48)$$

Das equações (46) e (48) vemos que o erro no pior caso é da ordem $\varepsilon^{2/3}t$.

5 Modelo de Herzig.

Um modelo bastante usado para a descrição do problema de filtração é devido a Herzig [2]. Observando que na equação (1a) o termo de acumulação para as partículas suspensas ($\partial_t c$) é bem menor que aquele das partículas depositadas ($\partial_t \sigma$), a excessão dos instantes iniciais, Herzig propõe que despreze-se a acumulação das partículas suspensas, simplificando o sistema e fornecendo ótimas propriedades numéricas [3]. Fazemos uma sucinta comparação entre a solução explícita obtida em 3, com a calculada para o modelo de Herzig para geometria linear:

$$\begin{cases} \frac{\partial}{\partial x} c = \frac{\partial}{\partial t} \sigma, & \text{(a)} \\ \frac{\partial}{\partial t} \sigma = \lambda_0(1 + \varepsilon \sigma)c, & \text{(b)} \end{cases} \quad (49)$$

onde deve-se notar que fornecer uma condição inicial para as partículas suspensas não faz mais sentido.

Aplicando o Teorema 2 de [1], podemos escrever a solução explícita:

$$\begin{cases} \sigma_h(x, t) = \frac{e^{\lambda_0(x-1)} \sigma(1, t)}{1 + \varepsilon \sigma(1, t) [e^{\lambda_0(x-1)} - 1]} & \text{(a);} \\ c_h(x, t) = e^{\lambda_0(x-1)} \exp \int_1^x \varepsilon \lambda_0 \sigma(s, t) ds & \text{(b),} \end{cases} \quad (50)$$

e $\sigma(1, t)$ ainda é dada pela equação (38). O subscrito h indica que a solução provém do modelo de Herzig. Subtraindo (50a) de (43a) e tomando o limite $\varepsilon \rightarrow 0$ (o que significa que estamos avaliando o erro para o problema não perturbado, em ambos os modelos) obtemos:

$$\sigma - \sigma_h = \lambda_0 e^{\lambda_0(x-1)} (x - 1). \quad (51)$$

Para o caso não perturbado em geometria linear temos portanto que o erro de aproximação para a deposição de partículas é constante. Fazendo o mesmo para a concentração de partículas suspensas vemos que o erro é zero. O caso perturbado fornece, com mais trabalho, resultado semelhante.

Referências.

- [1] Alvarez, A. C., Marchesin, D., *A simple inverse solver for the filtration in flow of water with particles in porous media*, Pre-print IMPA www.impa.br
- [2] Herzig, J. P. and Leclerc, D. M. and Goff, P. Le., *Flow of suspensions through porous media-application to deep filtration*, Industrial and Engineering Chemistry volume 65, #5 - 1970, p. 8-35.
- [3] Silva, J. M, Marchesin, D., *Esquemas numéricos para filtração em meios porosos.*, IMPA 2007.
- [4] de Zwart, A. H., Marchesin, D., Schotting, R. J., *Modelling clogging processes in different flow geometries.*

A Retorno às variáveis dimensionais.

O problema abstrato proposto em (1) provém de um modelo para a deposição profunda aplicável às geometrias lineares, radiais e cilíndricas de fluxo onde a função de filtração prevê uma possível retenção acentuada de partículas com o aumento da velocidade do fluxo.

Em termos das variáveis físicas temos:

$$\left\{ \begin{array}{l} x = \frac{r^m}{r_1^m}, \quad r_0 \leq r \leq r_1; \quad t = \frac{|q|}{\phi V_m} t^*; \\ c = \frac{c^*}{c_{in}}; \quad \sigma = \frac{\sigma^*}{\phi c_{in}}; \\ \lambda_0 = r_1 \left(\frac{u_{ref}^*}{u^*(r_1)} \right)^\delta \frac{\lambda_0^*}{m}, \quad u^*(r_1) = \frac{q}{A_m(r_1)}, \end{array} \right.$$

onde:

- r é a distância percorrida na amostra de rocha em relação ao centro de simetria, variando entre r_0 e r_1 ;
- t^* é o tempo na escala adequada;
- q é o fluxo da suspensão;
- ϕ é a porosidade da rocha;
- V_m é o volume total da amostra da rocha;
- c^* é a concentração volumétrica de partículas suspensas (com respeito ao volume poroso);
- c_{in} é a concentração volumétrica de partículas injetadas;
- σ^* é a concentração volumétrica de partículas depositadas com respeito ao volume total;
- u_{ref}^* é a velocidade de referência do fluxo;
- $u^*(r_1)$ é a velocidade de Darcy em r_1 ;
- λ_0^* é o coeficiente da função de filtração, cuja unidade é o recíproco da distância;
- $A_m(r_1)$ é a área da superfície de rocha em r_1 ;
- m é a dimensão.

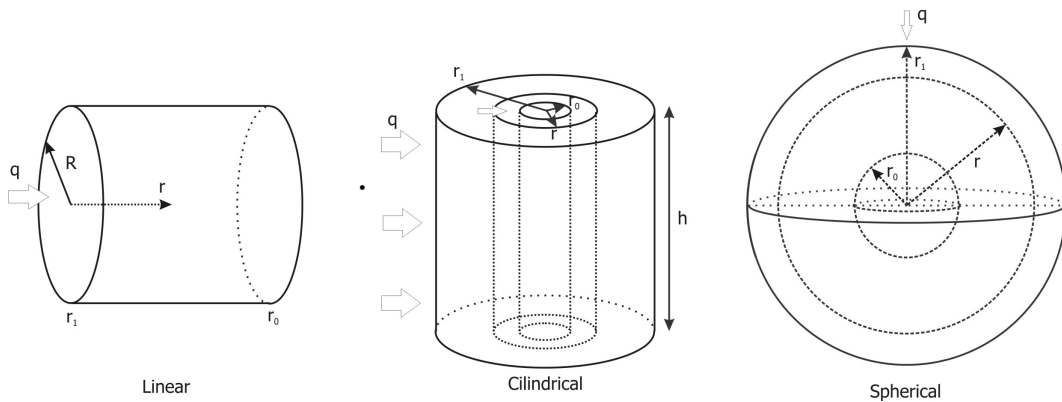


Figura 2: Ilustração das geometrias utilizadas, cedida por A. H. de Zwart.

Temos a tabela:

Geometria do fluxo	Área da seção (A_m)	Volume total (V_m)	Dimensão
Linear ¹	πR^2	$\pi R^2(r_1 - r_0)$	1
Cilíndrica ²	$2\pi r h$	$\pi r_1^2 h$	2
Esférica	$4\pi r^2$	$4/3 \pi r_1^3$	3

1. consideramos no fluxo linear uma rocha de seção fixa com raio R .
2. consideramos no fluxo cilíndrico uma rocha de altura fixa h .

O expoente δ é real e controla a relação entre a velocidade do fluxo e a taxa da deposição de partículas. Em função dele também escrevemos:

$$\beta = (\delta + 1) \left(\frac{m - 1}{m} \right).$$